



**MONITORING GEODYNAMICZNY POLSKI
PAŃSTWOWEJ SŁUŻBY GEOLOGICZNEJ**

**PAŃSTWOWY INSTYTUT GEOLOGICZNY
PAŃSTWOWY INSTYTUT BADAWCZY**

**Raport nr 01/2025
z dnia 10/02/2025 r.
z wyników monitoringu pola geomagnetycznego zarejestrowanych
w styczniu 2025 r.
na stacjach geodynamicznych PSG w Dziwiu i w Hołownie.**

Zawartość raportu:

1. Obserwacje wariacji ziemskiego pola magnetycznego realizowane przez PSG.
2. Lokalizacja stacji monitoringu pola geomagnetycznego.
3. Wyniki obserwacji zmian wartości całkowitego wektora indukcji pola magnetycznego Ziemi w laboratorium geodynamicznym w Hołownie.

Załącznik nr 1 - Zestawienie dobowych magnetogramów zarejestrowanych w styczniu 2025 na stanowisku monitoringu magnetycznego w Hołownie.

Projekt PSG - Monitoring Geodynamiczny Polski – etap V (MGP-V)

**WYKONANO NA ZAMÓWIENIE MINISTRA KLIMATU I ŚRODOWISKA
ZA ŚRODKI FINANSOWE WYPŁACONE
PRZEZ NARODOWY FUNDUSZ OCHRONY ŚRODOWISKA I GOSPODARKI WODNEJ**



**Ministerstwo
Klimatu i Środowiska**



**NARODOWY FUNDUSZ
OCHRONY ŚRODOWISKA
i GOSPODARKI WODNEJ**

Warszawa 10/02/2025 r.

1. Lokalizacja stacji monitoringu geomagnetycznego PSG.

Państwowa służba geologiczna (PSG) w ramach projektu **Monitoring Geodynamiczny Polski** prowadzi ciągły monitoring zmienności ziemskiego pola magnetycznego. Obserwacje realizowane są na dwóch stanowiskach pomiarowych, zlokalizowanych w dwóch, stałych stacjach monitoringu geomagnetycznego PSG: w laboratorium geodynamicznym położonym w Dziwiu (stacja **DZIW**), w gm. Przedecz w powiecie kolskim oraz w laboratorium w Hołowni (stacja **HOLO**) zlokalizowanym w gm. Podedwórze w pow. parczewskim. Lokalizacja stacji zaprezentowana została na mapie (rys. 1).



Rys. 1. Mapa lokalizacji stanowisk PSG ciągłego monitoringu pola geomagnetycznego (mapa bazowa CIA).

W linii prostej oba stanowiska obserwacji geomagnetycznych dzieli odległość ok. 300.5 km. Z punktu widzenia budowy geologicznej każde z nich usytuowane jest na obszarach należących do różnych jednostek geologicznych Polski. Stacja DZIWIW zlokalizowana jest na obszarze platformy paleozoicznej słabo zróżnicowanej magnetycznie, stacja HOLO - na obszarze prekambryjskiej platformy wschodnioeuropejskiej, silnie zróżnicowanej magnetycznie.

Położenie obu stanowisk obserwacji geomagnetycznych determinuje dużą różnicę w poziomach obserwacji danych magnetycznych. Wyznaczona w październiku 2023 r. różnica poziomów pomiędzy stacjami wyniosła **+823.55 nT** na korzyść stacji HOLO, przy odchyleniu standardowym serii pomiarowych równym **1.57 nT**. Różnica ta – podobnie jak inne cechy i parametry pola magnetycznego Ziemi – jest zmienna w czasie. Zmienność poziomów podlega długookresowym zmianom pola magnetycznego Ziemi, których wielkość i tempo zależą również od położenia punktu obserwacji.

W dniu 08/05/2024 r. w laboratorium geodynamicznym stacji PSG w Dziwiu został czasowo wstrzymany monitoring geomagnetyczny. Zatrzymanie monitoringu spowodowane zostało koniecznością wykonania modernizacji instalacji protonowego magnetometru bazowego stacji. Modernizacja obejmuje ułożenie w gruncie rury PVC mającej stanowić osłonę kabla sygnałowego, łączącego sondę magnetyczną, zlokalizowaną na zewnątrz laboratorium z magnetometrem bazowym, zainstalowanym we wnętrzu laboratorium. Ponadto w ramach modernizacji instalacji monitoringu magnetycznego zaplanowana jest wymiana kabla sygnałowego. Monitoring geomagnetyczny na stacji geodynamicznej PSG w Dziwiu zostanie wznowiony po dokonaniu zakupu i uzbrojeniu nowego kabla.

2. Obserwacje wariacji ziemskiego pola magnetycznego realizowane przez PSG.

Z uwagi na dostępne wyposażenie sprzętowe oraz warunki lokalne, które ograniczają możliwości instalacji wielu sensorów magnetycznych, monitoring magnetyczny na obu stanowiskach sprowadza się do rejestracji zmian czasowych wartości modułu całkowitego wektora B_T indukcji pola geomagnetycznego.

Do prowadzenia ciągłych obserwacji pola geomagnetycznego wykorzystane są magnetometry protonowe ENVI-MAG prod. firmy Scintrex Ltd. (Kanada), skonfigurowane do pracy w trybie stacji bazowej. W ramach realizowanego projektu monitoringu geodynamicznego PSG rutynowy, ciągły monitoring magnetyczny rozpoczęto w grudniu 2016 r. równolegle w obu - wspomnianych wyżej - laboratoriach.

Akwizycja i zapis danych prowadzony jest w trybie dyskretnego próbkowania z 60 s częstotliwością odczytów. Dokładność pomiarów zdefiniowana została ustaloną długością czasu polaryzacji sondy magnetycznej (2 s) w trakcie wykonywania pojedynczego cyklu pomiarowego. Czas polaryzacji sondy magnetycznej pozwala na pomiar indukcji pola geomagnetycznego z precyzją 0.1 nT. Na obu stacjach magnetycznych, zainstalowanych w Dziwiu (w okresie, w którym stacja była aktywna oraz w przyszłości po zakończeniu modernizacji i wznowieniu aktywności stacji) oraz w Hołowni, konfiguracja magnetometrów była i będzie identyczna, z wyjątkiem ustalonych wartości wielkości pola referencyjnego, dostosowanego do średniego, lokalnego poziomu indukcji pola geomagnetycznego.

Ziemskie pole magnetyczne jest naturalnym polem fizycznym, które podlega ciągłym zmianom. Obserwowane zmiany (wariacje) pola mają złożoną charakterystykę czasową począwszy od krótkotrwałych, nieregularnych zmian obserwowanych w czasie minut i godzin poprzez charakterystyczne, regularne zmiany dobowe oraz zmiany roczne, wieloletnie (związane z jedenastoletnim cyklem słonecznym), aż po zmiany wiekowe i zmiany występujące w dłuższych cyklach w okresach pomiędzy zmianami biegunów magnetycznych Ziemi. Zmiany pola magnetycznego mają znaczący wpływ na wiele procesów, jakie zachodzą zarówno na powierzchni, jak i w głębi planety, a także na różnego rodzaju produkty i procesy technologiczne powstające i funkcjonujące jako konsekwencje i osiągnięcia rozwoju cywilizacyjnego.

W odniesieniu do wpływu na procesy antropogeniczne najbardziej istotne są i największy wpływ mają krótkookresowe i wieloletnie wariacje pola geomagnetycznego. Te pierwsze są spowodowane głównie interakcjami zachodzącymi w magnetosferze ziemskiej pod wpływem oddziaływania zjonizowanych cząstek materii i fal promieniowania kosmicznego. W szczególności dotyczy to interakcji ziemskiego pola magnetycznego z wiatrem słonecznym, tj. strumieniem protonów i elektronów emitowanym z korony słonecznej w przestrzeń kosmiczną, a także ze strumieniami zjonizowanej plazmy towarzyszącym tzw. rozbłyskom słonecznym oraz koronalnym wyrzutom masy. Jednym z wyników interakcji strumieni plazmy wyrzucanych ze słońca z magnetosferą ziemską oraz jonosferą są szybkozmienne, wysokoamplitudowe wariacje natężenia pola magnetycznego obserwowanego na powierzchni planety, w tym przede wszystkim, pojawiające się w wysokich, okołobiegunowych szerokościach geograficznych, którym towarzyszą bardziej spektakularne zjawiska zórz polarnych.

3. Wyniki obserwacji zmian wartości całkowitego wektora indukcji pola magnetycznego Ziemi w laboratorium geodynamicznym PSG w Hołownie w miesiącu styczniu 2025.

W miesiącu styczniu 2025 roku dobowe wariacje indukcji pola geomagnetycznego dają się scharakteryzować jedynie w oparciu o rejestracje pola magnetycznego obserwowane na stacji w Hołownie. Jak wcześniej wspomniano obserwacje na stacji magnetycznej w laboratorium w Dziwiu zostały tymczasowo zawieszono.

Na **załączniku 1** zaprezentowane zostały wykresy zmian dobowych modułu indukcji pola geomagnetycznego zarejestrowane w Hołownie (**zał. 1**) w styczniu 2025 r. Wykresy są efektem postprocessingu danych surowych, który obejmuje automatyczną i półautomatyczną filtrację krótkotrwałych, impulsowych, indukcyjnych, zewnętrznych zakłóceń rejestrowanych przez magnetometr bazowy, zainstalowany w pomieszczeniu laboratorium geodynamicznego stacji w Hołownie.

Magnetogramy prezentują komplet danych z obserwacji zmian modułu całkowitego wektora indukcji geomagnetycznej zarejestrowanych od dnia 01/01 do 31/01/2025.

W trakcie rutynowych obserwacji pola geomagnetycznego w okresie miesiąca stycznia na stacji geodynamicznej w Hołownie w pierwszym dniu Nowego Roku zarejestrowana została silna burza magnetyczna. W pięciostopniowej skali klasyfikacji burz magnetycznych (od G1 do G5), zgodnie ze skalą przyjętą przez amerykańską, rządową agencję **NOAA - NATIONAL OCEANIC AND ATMOSPHERIC ADMINISTRATION**, anomalie pola magnetycznego zarejestrowane w dniu 1 stycznia br. na stacji geodynamicznej PSG w Hołownie osiągnęły w szczycie zaburzeń poziom burzy klasyfikowanej jako G4. Maksymalna amplituda zmian wyniosła ok. 250 nT. W pozostałych dniach miesiąca zmiany pola geomagnetycznego były na ogół zbliżone do normalnych zmian dobowych niekiedy na krótko zakłóconych przez pojedyncze impulsy powodowane przez rozbłyski słoneczne i oddziaływanie z magnetosferą ziemską niewielkich erupcji plazmy wyrzuconej z korony słonecznej.

Niewielkie zaburzenia w normalnym przebiegu dobowych krzywych modułu wektora indukcji magnetycznej zostały zarejestrowane w styczniu kilkakrotnie w dniach; 02/01, 04/01, 05/01, 07/01, 14/01, 17/01, 19/01, 20/01 oraz 21/01, 23/01 i 28/01. W dniach tych rejestrowane fluktuacje indukcji pola magnetycznego były niewielkie (amplitudy zmian nie przekraczały wielkości 40 nT), a ponadto maksymalny czas ich trwania ograniczony był zazwyczaj do 1 h. Były to typowe zaburzenia „zatokowe”, jakie zazwyczaj powoduje krótkotrwała, ograniczona aktywność słoneczna. W żadnym z wcześniej wspomnianych dni zarejestrowane zmiany nie osiągnęły nawet poziomu najłagodniejszej burzy magnetycznej tj. poziomu G1.

W okresie całego miesiąca z wyjątkiem 1 stycznia wpływ czynników pozaziemskich, które wpływają na stan magnetosfery i jonosfery ziemskiej był na ogół dość stabilny. Bieżący stan tych czynników i wpływ na pole magnetyczne Ziemi opisywany jest tzw. „indeksem pogody kosmicznej” **Kp**. Wartość tego indeksu utrzymywała się na niskim bądź umiarkowanym poziomie poniżej wartości 5.0 (**rys. 2**). Najniższe wartości indeksu obserwować można było w dniach 25 i 26 stycznia. W dniach tych

niemal przez całe dwie doby wartość indeksu **Kp** utrzymywała się poniżej wartości 1. Odpowiednio na magnetogramach rejestrowane zmiany dobowe pola geomagnetycznego obserwowane na powierzchni Ziemi były najbardziej regularne i zbliżone do normalnych krzywych dziennych.

Krótkookresowe, w tym dobowe zmiany pola geomagnetycznego obserwowane na powierzchni planety są zawsze wynikiem interakcji ziemskiego pola magnetycznego z polem magnetycznym generowanym przez poruszające się zjonizowane cząstki wiatru słonecznego. Wielkość wpływu wiatru słonecznego na ziemskie pole magnetyczne zależy od wielkości i polaryzacji „uwięzionego” pola magnetycznego, a tym samym od prędkości i gęstości poruszających się cząstek. Prędkość i gęstość cząstek docierających w przestrzeń okołoziemską jest zależna od aktualnego stanu aktywności słonecznej z uwzględnieniem opóźnienia wynikającego z czasu potrzebnego na dotarcie cząstek wiatru w zasięg oddziaływania pola magnetycznego Ziemi. Prędkość cząstek wiatru słonecznego zmienia się w szerokich granicach i waha się od ok. 400 km/s (brak gwałtownych zjawisk na powierzchni Słońca) do ok. 500 - 800 km/s w przypadku gwałtownych emisji cząstek towarzyszących rozbłyskom słonecznym i zjawiskom koronalnych wyrzutów masy z korony słonecznej (ang. CME). Wyrzuty strumieni plazmy z korony słonecznej są w stanie docierać w zasięg magnetosfery ziemskiej już po 15 – 18 godzinach (najszybsze, wysokoenergetyczne cząstki). Najwolniejsze, pokonują trasę Słońce-Ziemia nawet w czasie kilku dni.

Jak wcześniej wspomniano bieżący stan pozaplanetarnych czynników, które oddziałują na pole magnetyczne Ziemi, jonosferę, atmosferę, hydrosferę i jej powierzchnię wyznacza aktualny stan tzw. „pogody kosmicznej”. Badaniami tych czynników i ich wpływem na życie na Ziemi zajmują się wyspecjalizowane ośrodki naukowe, instytucje i agencje rządowe w tym, między innymi, NATIONAL OCEANIC AND ATMOSPHERIC ADMINISTRATION (NOAA) w Stanach Zjednoczonych (www.noaa.gov). W ramach swoich zadań NOAA prowadzi monitoring tych czynników wraz z ich analizą jakościowo-ilościową. W strukturze NOAA funkcjonuje Centrum Prognozowania Pogody Kosmicznej (**SPACE WEATHER PREDICTION CENTER – SWPC**), którego zadaniem jest przewidywanie stanu tych czynników w czasie i oceny potencjalnych zagrożeń związanych z ich wpływem na różne aspekty funkcjonowania urządzeń technologicznych na Ziemi oraz w przestrzeni kosmicznej.

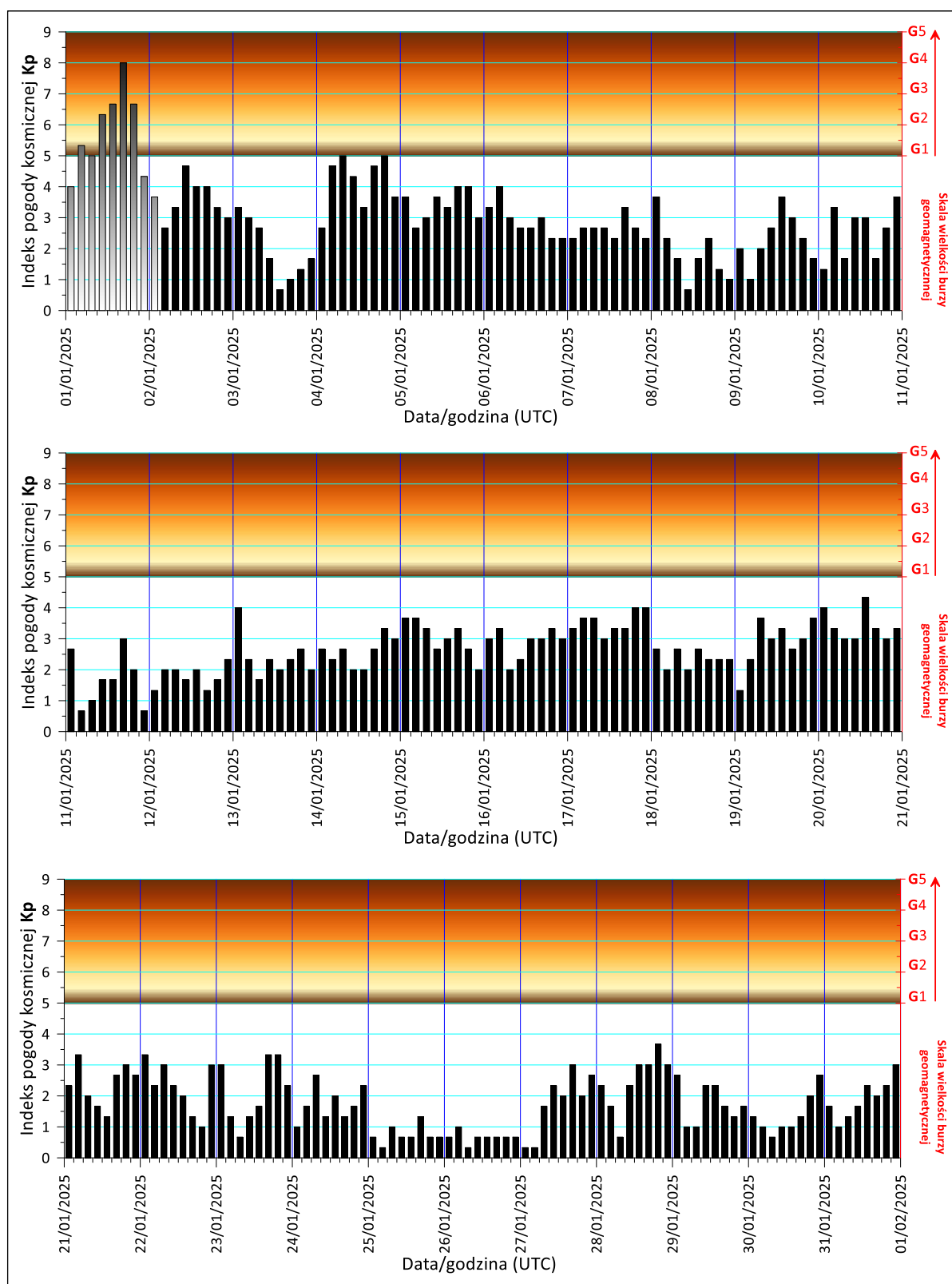
W trakcie trwania burz magnetycznych całkowity wektor indukcji ziemskiego pola magnetycznego B_T ulega nieustannym zmianom w czasie jako wypadkowa zmian jego składowych: X – składowa wschodnia, Y – północna i Z – pionowa. Zmiany obejmują również elementy pola magnetycznego H – składową poziomą, Z –składową pionową, D – deklinację, I – inklinację wektora indukcji.

Silne burze magnetyczne (klasy **G4**, **G5**) zdarzają się stosunkowo rzadko. Zazwyczaj rejestruje się ok. 100 burz klasy G4 w trakcie jednego, jedenastoletniego cyklu słonecznego. Dla porównania typowe, słabe zaburzenia magnetyzmu ziemskiego (tzw. „zaburzenia zatokowe”) obserwuje się statystycznie w ilości ok. 1700 razy w ciągu 1 cyklu słonecznego (ok. 900 dni z zaburzeniami). Burze ekstremalne G5 statystycznie zaledwie czterokrotnie w trakcie trwania 1 cyklu. Częstość zjawisk burzowych jest zależna od bieżącej aktywności Słońca. W szczycie 11 – letniego cyklu, kiedy aktywność słoneczna osiąga swoje apogeum prawdopodobieństwo, ryzyko i częstość wystąpienia silnej burzy są najwyższe.

Wielkość burzy magnetycznej odzwierciedla stan zaburzeń magnetosfery ziemskiej. Stan zaburzeń scharakteryzowany wielkością „indeksu pogody kosmicznej” **Kp** przyjmuje wartości od 0 do 9. Indeks **Kp** jest prognozowany i wyznaczany jako średnia ważona indeksów **K** określonych na podstawie zmian składowych wektora indukcji geomagnetycznej obserwowanego w 13 ustalonych obserwatoriach geomagnetycznych, zlokalizowanych na obszarze półkuli północnej i południowej powyżej 60 równoleżnika. Indeksy **K** i **Kp** wyznaczone są w trzygodzinnych interwałach z wyprzedzeniem 3 dób obserwacji. Prognoza wielkości indeksu i przewidywana na tej podstawie skala zaburzeń ziemskiego pola magnetycznego stanowią istotną informację pozwalającą ograniczać potencjalnie niekorzystny, przyszły wpływ szybkich zmian pola magnetycznego Ziemi na infrastrukturę energetyczną na jej powierzchni, zakłócenia ruchu sztucznych satelitów Ziemi, łączność radiową z

wykorzystaniem fal radiowych przechodzących przez jonosferę ziemską lub od niej odbitych, a także na systemy pozycjonowania satelitarne.

Na **rys. 2** przedstawiono wykresy zmienności indeksu Kp prognozowane sukcesywnie z wyprzedzeniem trzydniowym w okresie miesiąca stycznia br. Wykresy przedstawiono w formacie dekadowym tj. od 01 do 10, od 11 do 20 oraz od 21 do 31 stycznia 2025. Na wykresach zaznaczona została skala burz magnetycznych odpowiadająca indeksom Kp: **G1**- $5 \leq Kp < 6$, **G2** – $6 \leq Kp < 7$, **G3** - $7 \leq Kp < 8$, **G4** – $8 \leq Kp < 8.9$, **G5** – $Kp \geq 8.9$.



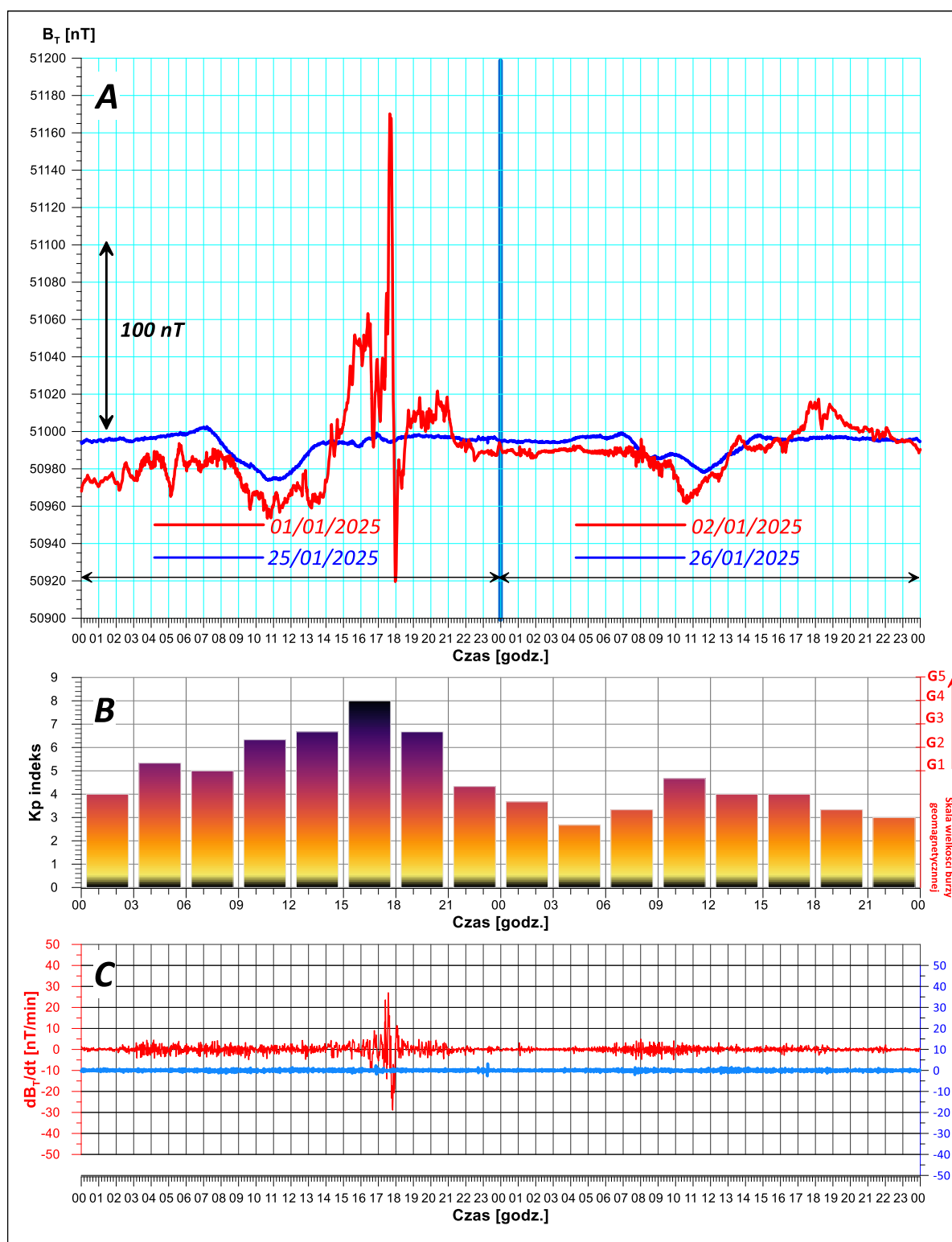
Rys. 2. Zmiany indeksu Kp „pogody kosmicznej” w miesiącu styczniu 2025 r (dane wg. NOAA).

Zmiany wielkości modułu indukcji ziemskiego w oraz wykresy dynamiki zmian pola magnetycznego zarejestrowane w dniach najsilniejszych, styczniowych zaburzeń tj. w dniach **1. oraz 2. (burza magnetyczna klasy G4 - $Kp_{max}=8$)** i **4. stycznia (zaburzenia „zatokowe” $Kp \leq 5$)** zaprezentowane zostały w oparciu o dane z monitoringu pola geomagnetycznego ze stacji geomagnetycznej w laboratorium PSG w Hołowni.

Anomalie pola geomagnetycznego z dnia 1. i 2. stycznia (UTC) br. z dwudobowego okresu obserwacji pola magnetycznego w laboratorium geodynamicznym PSG w Hołownie zaprezentowano na **rys. 3**. Zaprezentowane wykresy obrazują zmiany modułu całkowitego wektora indukcji geomagnetycznej B_T , wykres słupkowy wielkości indeksu K_p w 3 godzinnych interwałach predykcji danych oraz dynamikę zmian modułu całkowitego wektora indukcji w czasie dla jednodobowych interwałów obserwacji pola dB_T/dt . Krzywe wykreślone kolorem czerwonym pokazują dobowe wariacje modułu indukcji ziemskiego pola magnetycznego. Kolorem niebieskim pokazano zapis z dnia **25-26/01/2025** r., tj. z obserwacji wykonanych w dniach, w których stopień zmienności typowej krzywej dziennej był minimalny (wykres referencyjny - niezakłócony zapis dobowy).

Odpowiednio do wykresów zaprezentowanych na **rys. 3** na kolejnym rysunku (**rys. 4**) pokazano analogiczną, ale tym razem jednodobową prezentację zmian pola magnetycznego obserwowaną w dniu 04/01/2025 r. Również w tym przypadku za wykres referencyjny posłużyła rejestracja pola magnetycznego z dnia 25/01/2025 r.

Ogółem w styczniu br. w laboratorium geodynamicznym w Hołownie stacja magnetyczna prowadziła obserwacje przez **100% (744 godz.)** nominalnego czasu. Ogółem zarejestrowano 10 odcinków silnie zakłóconych danych o łącznym czasie **32 godz.** (zakłócenia spowodowane źródłem zewnętrznym) oraz 1 odcinek, w którym stwierdzono lukę w danych o długości **3.25 godz.** (brak zasilania stacji). Razem w ramach monitoringu w miesiącu styczniu uzyskano **95.6%** kompletności danych pomiarowych.

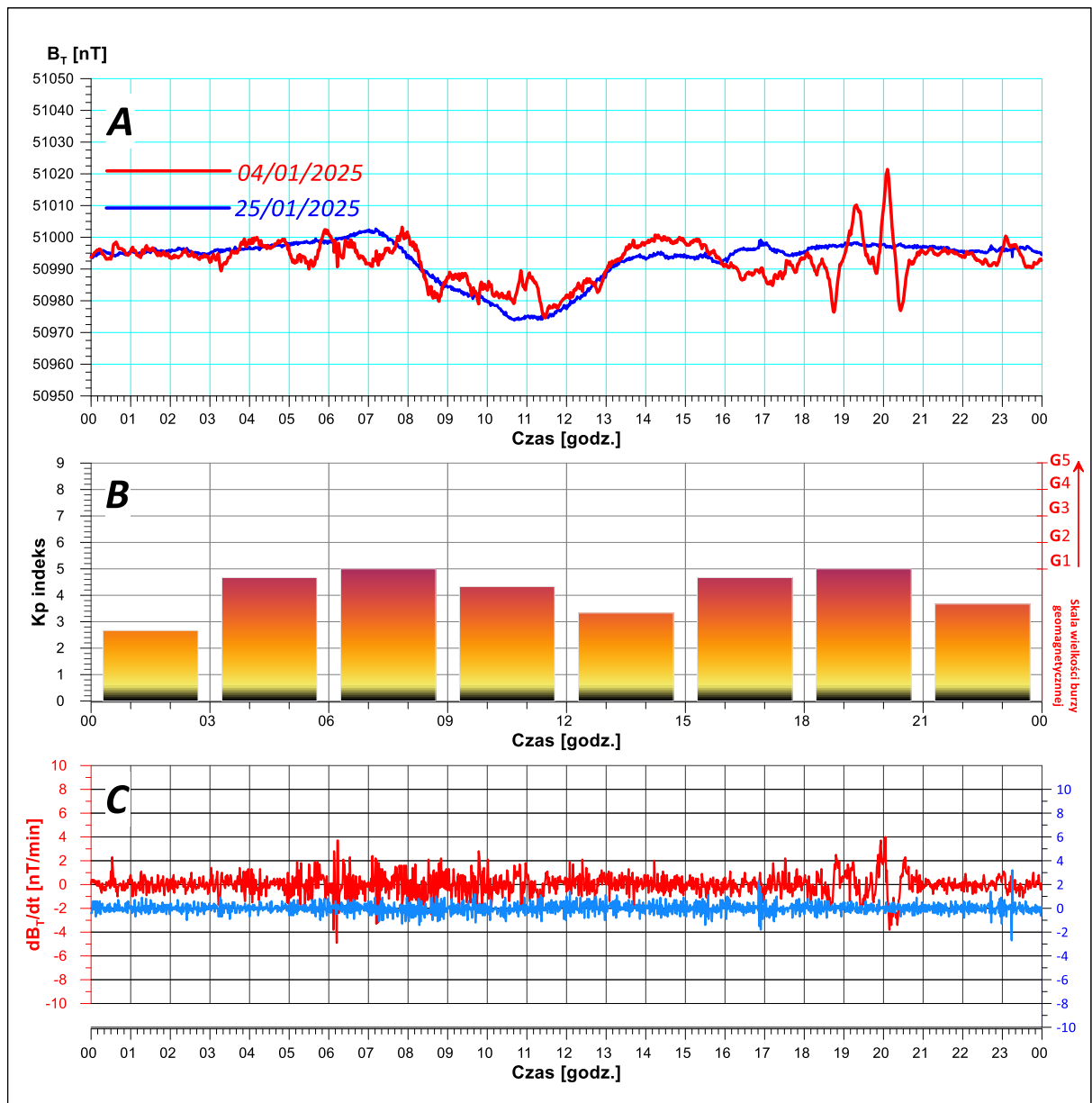


Rys. 3. Magnetogram z monitoringu modułu całkowitego wektora indukcji pola geomagnetycznego zarejestrowany w dniu 01-02/01/2025 r. na stacji geodynamicznej PSG zlokalizowanej w Hołownie (gm. Podedworze, pow. parczewski).

A – wykresy rejestrowanych zmian modułu całkowitego wektora indukcji pola geomagnetycznego B_T .

B – dobowy wykres zmian indeksu K_p określającego stan „pogody kosmicznej” (wg. NOAA-SWPC – Centrum Prognoz Pogody Kosmicznej www.swpc.noaa.gov.us).

C – wykresy dynamiki zmian w czasie modułu wektora indukcji pola magnetycznego Ziemi dB_T/dt .



Rys. 4. Magnetogram z monitoringu modułu całkowitego wektora indukcji pola geomagnetycznego zarejestrowany w dniu 04/01/2025 r. na stacji geodynamicznej PSG zlokalizowanej w Hołownie (gm. Podedwórze, pow. parczewski).

A – wykresy rejestrowanych zmian modułu całkowitego wektora indukcji pola geomagnetycznego B_T .

B – dobowy wykres zmian indeksu K_p określającego stan „pogody kosmicznej” (wg. NOAA-SWPC – Centrum Prognoz Pogody Kosmicznej www.swpc.noaa.gov.us).

C – wykresy dynamiki zmian w czasie modułu wektora indukcji pola magnetycznego Ziemi dB_T/dt .

W dniu 15 października 2024 r. na wspólnej konferencji prasowej przedstawiciele Amerykańskiej Agencji Kosmicznej – NASA oraz Amerykańskiego Urzędu ds. Atmosfery i Oceanów – NOAA ogłoszono, że Słońce aktualnie znajduje się w szczycie swojego 25., jedenastoletniego cyklu aktywności słonecznej (<https://www.youtube.com/live/DT0FG7CS1Tg%C2%A0>). Z tego względu w kolejnym roku 2025 spodziewać się można zwiększenia częstości występowania krótkookresowych, nieregularnych zmian pola magnetycznego wywołanych wpływem Słońca na pole magnetyczne Ziemi. W latach bezpośrednio poprzedzających maksimum aktywności słonecznej obserwuje się również narastanie, a po osiągnięciu szczytu spadek częstości zaburzeń pola geomagnetycznego spowodowanych wiatrem słonecznym oraz zwiększoną częstością występowania innych zjawisk mających swoje źródła w przypowierzchniowych warstwach atmosfery słonecznej. Prawdopodobieństwo występowania częstych i silnych zakłóceń na tle normalnych zmian dobowych będzie jeszcze znaczne.